

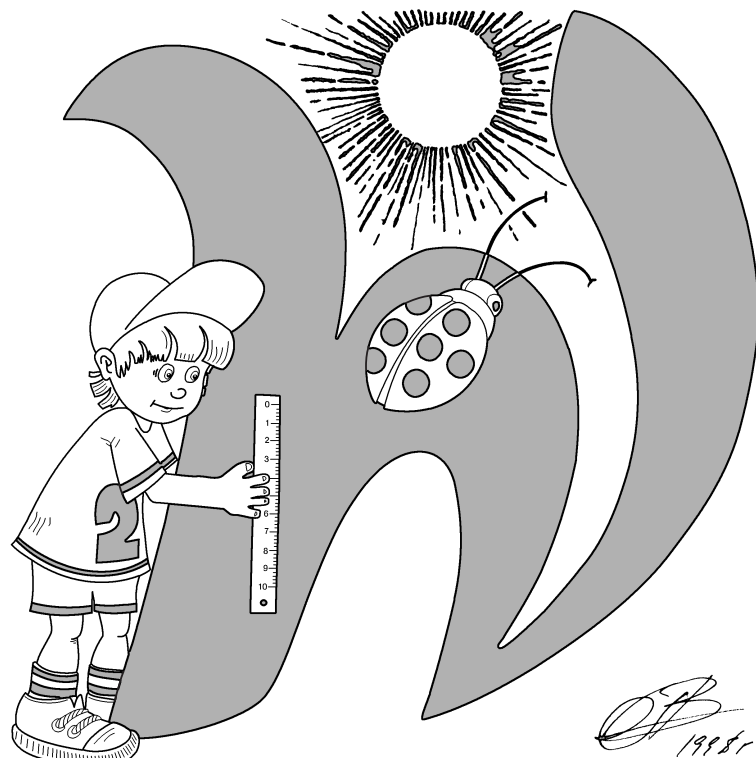
Федеральное агентство по образованию  
Центральный оргкомитет Всероссийских олимпиад

# XL Всероссийская олимпиада школьников по физике

## Заключительный этап

### Теоретический тур

#### Методическое пособие



Снежинск, 2006 г.

Комплект задач подготовлен методической комиссией по физике  
Центрального оргкомитета Всероссийских олимпиад школьников  
Министерства образования и науки Российской Федерации  
Телефоны: (095) 408-80-77, 408-86-95.  
E-mail: [fizolimp@mail.ru](mailto:fizolimp@mail.ru) (с припиской **antispam** к теме письма)

### Авторы задач

#### 9 класс

1. Грибов В.
2. Слободянин В.
3. Шведов О.
4. Соболев М.

#### 10 класс

1. Мельниковский Л.
2. Воробьев И.
3. Слободянин В.
4. Воробьев И.
5. Козел С.

#### 11 класс

1. Чудновский А.
2. Бутиков Е.
3. Козел С.
4. Огарков М.
5. Козел С.

Общая редакция — Козел С.

Оформление и вёрстка — Гусихин П.

При подготовке оригинал-макета  
использовалась издательская система L<sup>A</sup>T<sub>E</sub>X 2<sub><</sub>.  
© Авторский коллектив  
Подписано в печать 21 июня 2006 г. в 17:58.

141700, Московская область, г. Долгопрудный  
Московский физико-технический институт

## 9 класс

**Задача 1. Максимальная амплитуда**

Брускок массой  $M$ , покоящийся на горизонтальном столе, и пружинный маятник, состоящий из груза массой  $m$  и лёгкой длинной пружины, связанные лёгкой нерастяжимой нитью, перекинутой через идеальный неподвижный блок (рис. 1). Коэффициент трения между основанием бруска и поверхностью стола  $\mu = 0,3$ . Отношение массы бруска к массе груза  $M/m = 8$ . Груз совершает вертикальные колебания с периодом  $T = 0,5$  с. Какова максимально возможная амплитуда  $A_m$  таких колебаний, при которых они остаются гармоническими?

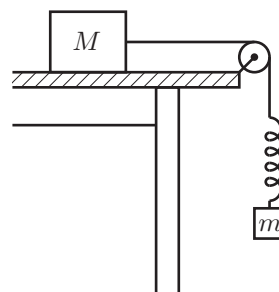


Рис. 1

**Задача 2. Курсирующий катер**

По реке, скорость течения которой  $u$ , навстречу друг другу плывут два однотипных теплохода. В некоторый момент времени, когда один из теплоходов проплыл мимо пункта  $A$ , а другой — мимо пункта  $B$ , из  $A$  в  $B$  отплыл быстроходный катер, который стал курсировать между теплоходами вплоть до их встречи. Какой путь  $L_x$  относительно берега реки проплыл катер? Расстояние от  $A$  до  $B$  вдоль фарватера реки  $L$ . В стоячей воде скорость теплоходов равна  $v$ , а катера  $V$ . Пункт  $A$  находится выше пункта  $B$  по течению реки. Как изменится ответ, если катер стартует из пункта  $B$ ?

**Задача 3. Терморезистор**

На дне калориметра закреплён тонкий плоский нагревательный элемент, а на некотором уровне над ним — терморезистор, сопротивление  $R$  которого зависит от температуры  $t$ , выраженной в  $^{\circ}\text{C}$ , по закону  $R = R_0(1 + \alpha t)$ , где  $R_0$  и  $\alpha$  не зависят от температуры. Параметр  $\alpha$  называется температурным коэффициентом сопротивления. В калориметре находится лёд. Его удельная теплота плавления  $\lambda = 340 \text{ кДж/кг}$ . Удельная теплоёмкость воды  $c = 4,2 \text{ кДж/(кг} \cdot {^{\circ}\text{C}}\text{)}$ . Если через нагревательный элемент пустить ток силой  $I_0$ , сопротивление  $R$  будет изменяться со временем так, как показано на графике (рис. 2). Найдите  $\alpha$ . Изобразите график зависимости  $R(\tau)$ , если бы через терморезистор пропускали ток силой  $I = 1,41I_0$ .

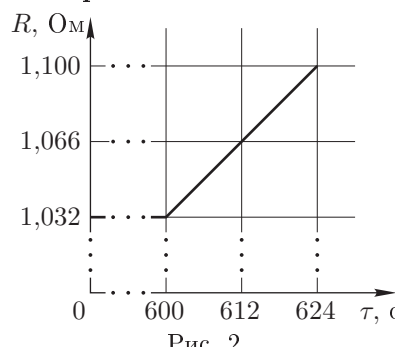


Рис. 2

**Задача 4. Цепь с двумя ключами**

На рисунке 3 изображена цепь, содержащая идеальный амперметр  $A$ , резисторы сопротивлением  $R$  и  $2R$ , ключи  $K_1$  и  $K_2$ . Цепь подключена к источнику постоянного напряжения  $U$ . Какую силу тока будет показывать амперметр при различных комбинациях ключей  $K_1$  и  $K_2$  (замкнуто — разомкнуто)? Какими будут направления тока на участке  $BD$  в различных случаях? В каком случае показания амперметра окажутся максимальными?

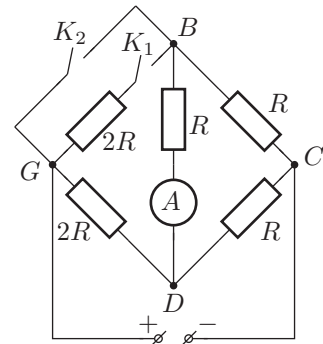


Рис. 3

**10 класс****Задача 1. Эшелон**

На горизонтальном столе один на другом лежат  $N = 42$  длинных бруска массами  $m$ ,  $2m$ ,  $3m$ , ...,  $42m$  (рис. 4). Они смазаны вязким маслом, так что сила трения между брусками и между нижним бруском и столом пропорциональна относительной скорости  $v$  соприкасающихся брусков:  $F_{\text{тр}} = -\alpha v$ , где  $\alpha$  — некоторая константа. Сначала все бруски неподвижны, затем верхнему брускому сообщают горизонтальную скорость  $v$ . Определите смещение  $n$ -го бруска относительно  $(n+1)$ -го бруска после остановки брусков. Какой вид примет стопа брусков после остановки?

**Задача 2. Неустойчивое равновесие**

В горизонтальном колене запаянной теплоизолированной П-образной трубки небольшого постоянного поперечного сечения  $S$  с длиной колена  $L$  расположена жидкость плотностью  $\rho$ . Теплоёмкость всей жидкости в трубке равна  $C$  (рис. 5). В вертикальных коленах находится по  $\nu$  молей гелия под давлением  $p_0$ . Из-за слабого толчка равновесие нарушилось. Пренебрегая теплообменом с окружающей средой, найдите расстояние  $x$ , на которое сместится столбик жидкости к моменту установления термодинамического равновесия. Поперечное сечение трубы столь мало, что пузырьки газа не «пробулькивают» сквозь жидкость, сместившуюся в вертикальное колено.

**Задача 3. Наибольший КПД**

Рассмотрите два цикла (рис. 6), совершаемых над идеальным газом. В первом из них газ адиабатически сжимают из состояния 1 до состояния 2, затем изотермически расширяют до состояния 3 и наконец изохорически возвращают в исходное состояние 1. КПД такого цикла обозначим  $\eta_V$ . Во втором цикле газ адиабатически сжимают из состояния 1 до состояния 2, затем изотермически расширяют до состояния 4 и наконец изобарически возвращают в исходное состояние 1. КПД такого цикла обозначим  $\eta_p$ . Сравните  $\eta_V$  и  $\eta_p$ .

*Примечание.* В адиабатическом процессе  $pV^\gamma = \text{const}$ , где  $\gamma = C_p/C_V$ . При изотермическом расширении идеального газа от объёма  $V_a$  до объёма  $V_b$  им совершается работа  $A_{ab} = \nu RT \ln(V_b/V_a)$ .

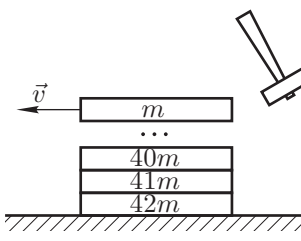


Рис. 4

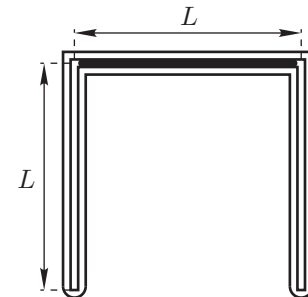


Рис. 5

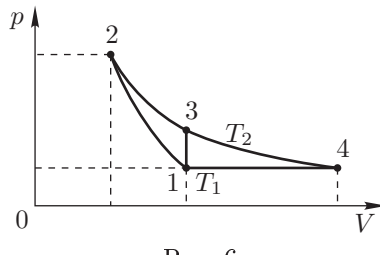


Рис. 6

**Задача 4. Притяжение одноимённых зарядов**

Распространено мнение, что тела с одноимёнными зарядами всегда отталкиваются друг от друга. Вовсе нет! Такой эффект наблюдается далеко не всегда. Представьте себе, что сплошной металлический шар радиуса  $R$  распилили пополам, а получившиеся половины сблизили плоскими сторонами так, что зазор  $d$  между ними оказался предельно мал ( $d \ll R$ ). Найдите силу электростатического взаимодействия полушарий с одноимёнными зарядами  $q_1$  и  $q_2$  (рис. 7). При каком отношении зарядов они будут притягиваться?

*Примечание.* Сила, действующая на единицу поверхности заряженного проводника произвольной формы, связана с напряжённостью электрического поля вблизи поверхности тем же соотношением, что и в плоском конденсаторе.

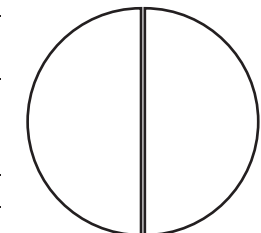


Рис. 7

**Задача 5. Полубесконечная цепочка**

На рисунке 8 изображена полубесконечная цепочка, состоящая из одинаковых источников постоянного тока с ЭДС  $\mathcal{E} = 1,2$  В и внутренним сопротивлением  $r = 2,0$  Ом. К входным клеммам цепочки с помощью перекидного ключа  $K$  могут быть подключены либо идеальный вольтметр  $V$ , либо идеальный амперметр  $A$ . Определите показания этих приборов.

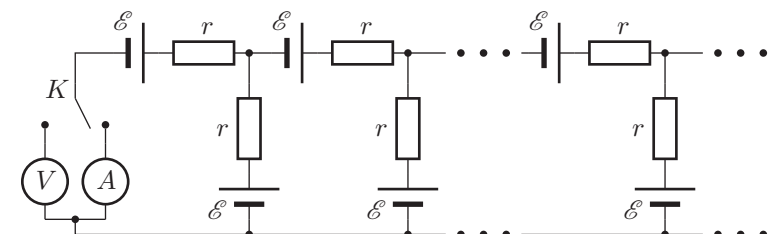


Рис. 8

**Задача 1. Разорвавшийся снаряд**

Пушечный снаряд массой  $M = 100$  кг разорвался в некоторой точке траектории на два осколка, разлетевшихся с импульсами  $p_1 = 3,6 \cdot 10^4$  кг·м/с и  $p_2 = 2,4 \cdot 10^4$  кг·м/с. Импульсы осколков направлены под углом  $\alpha = 60^\circ$  друг к другу. Определите, при каком отношении масс осколков выделившаяся при взрыве кинетическая энергия будет минимальной. Найдите эту энергию.

**Задача 2. Шайба на привязи**

Круглый вертикальный цилиндр радиусом  $R$  прикреплён к горизонтальной плоскости (рис. 9). Внизу с боковой поверхностью цилиндра соединена нерастяжимая нить длиной  $L$ , направленная по касательной к поверхности цилиндра. На другом конце нити закреплена маленькая шайба. Шайбе сообщают горизонтальную скорость  $v_0$ , направленную перпендикулярно нити, и шайба начинает скользить по плоскости.

- Сколько времени будет продолжаться движение шайбы (наматывание нити на цилиндр) в отсутствие трения?
- Сколько времени будет продолжаться движение шайбы при наличии трения между шайбой и плоскостью? Коэффициент трения равен  $\mu$ .

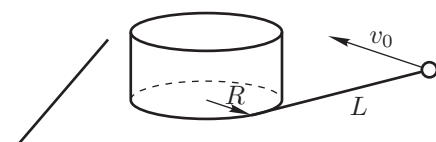


Рис. 9

**Задача 3. Два термодинамических процесса**

На рисунке 10 изображена система, состоящая из баллона объёмом  $V_0 = 0,2$  м<sup>3</sup> и цилиндра с поршнем. Начальный объём баллона и цилиндра  $V_1 = kV_0$ , где  $k = 2,72$ . В системе находится воздух под давлением  $p_0 = 10^5$  Па и при температуре  $T_0 = 300$  К, равной температуре наружного воздуха. Передвигая поршень, весь воздух из цилиндра закачивают в баллон. Определите количество теплоты, которое передаётся окружающей среде в следующих двух случаях.

1. Поршень передвигается медленно, так что в каждый момент времени вся система находится в тепловом равновесии с окружающей средой.

2. Поршень передвигается достаточно быстро, так что за время его перемещения можно пренебречь теплообменом с окружающей средой, но воздух внутри системы в каждый момент времени находится в равновесном состоянии. После завершения процесса перекачки температура воздуха в баллоне постепенно сравнивается с температурой окружающего воздуха.

*Примечание.* Адиабатический процесс описывается уравнением  $pV^\gamma = \text{const}$ , где параметр  $\gamma = C_p/C_V$ .

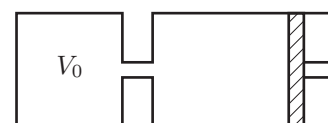


Рис. 10

**Задача 4. Исследование конденсатора**

Для определения ёмкости  $C_2$  и сопротивления утечки  $r_2$  конденсатора собрана мостовая схема (рис. 11), которая сбалансирована при подключении гармонического переменного напряжения. Оказалось, что баланс моста не нарушается при любом изменении частоты напряжения. Чему равны параметры  $C_2$  и  $r_2$ , если известно, что  $r_1 = 2500$  Ом,  $r_3 = 10$  Ом,  $L_3 = 1$  Гн,  $r_4 = 800$  Ом. Гальванометр измеряет действующее значение силы тока.

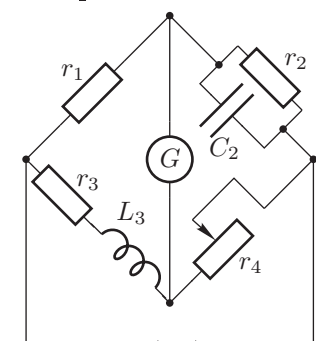


Рис. 11

**Задача 5. У торца соленоида**

У торца вертикально расположенного длинного соленоида на тонком немагнитном листе лежит соосно с соленоидом круглое тонкое кольцо из сверхпроводника (рис. 12). В начальном состоянии сила тока в витках соленоида и сила тока в кольце равны нулю. При протекании тока по виткам соленоида вблизи торца возникает неоднородное магнитное поле. Вертикальную  $B_z$  и радиальную  $B_r$  составляющие вектора магнитной индукции  $\vec{B}$  можно в некоторой ближней области задать с помощью соотношений  $B_z \approx B_0(1 - \alpha z)$ ,  $B_r \approx B_0\beta r$ , где  $\alpha$  и  $\beta$  — некоторые константы, а  $B_0$  определяется силой тока в соленоиде. По виткам соленоида начинают пропускать ток силой  $I$ , постепенно увеличивая его значение. Определите:

- критическое значение силы тока  $I_0$  в соленоиде, при котором кольцо начинает подниматься над опорой;
- высоту кольца над опорой при  $I = 2I_0$ ;
- частоту малых колебаний колебаний сверхпроводящего кольца при  $I = 2I_0$ .

Числовые данные:  $\alpha = 36$  м<sup>-1</sup>,  $\beta = 18$  м<sup>-1</sup>, масса кольца  $m = 100$  мг, коэффициент самоиндукции кольца  $L = 1,8 \cdot 10^{-8}$  Гн, площадь кольца  $S = 1$  см<sup>2</sup>, магнитная постоянная  $\mu_0 = 1,257 \cdot 10^{-6}$  Гн/м, плотность намотки соленоида  $n = 10^3$  м<sup>-1</sup>.

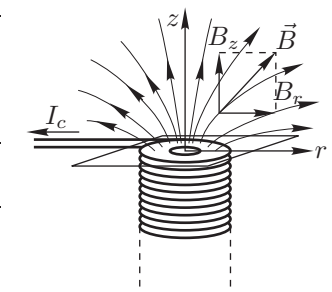


Рис. 12

## Возможные решения

### 9 класс

#### Задача 1. Максимальная амплитуда

Из условия равновесия маятника  $kx_0 = mg$ , где  $k$  — жёсткость пружины, находим её удлинение при равновесии  $x_0 = mg/k$ . Из формулы для периода гармонических колебаний маятника

$$T = 2\pi \sqrt{\frac{m}{k}} \quad \text{выражаем} \quad \frac{m}{k} = \frac{T^2}{4\pi^2}, \quad \text{откуда} \quad x_0 = \frac{gT^2}{4\pi^2}.$$

Колебания груза остаются гармоническими, если совместно выполнены два условия:

1. в процессе колебаний груза брускок остаётся неподвижным;
2. нить всё время натянута, поэтому груз нигде не переходит в режим свободного падения.

Из первого условия следует, что в крайнем нижнем положении груза, когда удлинение пружины  $x_1 = x_0 + A$ , сила натяжения нити, равная по модулю упругой силе пружины, недостаточна для того, чтобы сдвинуть брускок:

$$kx_1 = kx_0 + kA \leq mg + kA_1 = \mu Mg,$$

откуда

$$A \leq A_1 = \left( \mu \frac{M}{m} - 1 \right) g \frac{T^2}{4\pi^2} = 8,8 \text{ см.}$$

Из второго условия следует, что в крайнем верхнем положении груза, когда удлинение пружины  $x_1 = x_0 - A$ , нить не провисает, откуда

$$A \leq A_2 = x_0 = \frac{gT^2}{4\pi^2} = 6,3 \text{ см.}$$

Второе условие более сильное, следовательно,

$$A_m = 6,3 \text{ см.}$$

#### Задача 2. Курсирующий катер

Средняя скорость катера  $v_{cp}$  на участке реки от одного теплохода до другого и обратно — величина постоянная. Поэтому искомый путь, пройденный катером, равен произведению этой скорости на общее время его курсирования:  $t_0 = L/2v$ . Найдём  $v_{cp}$ . Время, затраченное катером на путь до первой встречи с теплоходом  $B$ , равно

$$t_1 = \frac{L}{v+V}.$$

Пусть катер стартует по течению реки, тогда за время  $t_1$  он преодолеет расстояние

$$L_1 = t_1(V+u) = L \frac{V+u}{v+V},$$

а вышедший вместе с ним теплоход  $A$  проплыл расстояние

$$L_T = t_1(v+u) = L \frac{v+u}{v+V}.$$

Когда катер повернулся обратно, расстояние между ним и теплоходом  $A$  составляло

$$L_{KT} = L_1 - L_T = t_1((V+u) - (v+u)) = L \frac{V-v}{v+V}.$$

На путь до встречи с теплоходом  $A$  потребовалось время

$$t_2 = \frac{L_{KT}}{v-V} = L \frac{V-v}{(v+V)^2}.$$

За это время катер покрыл расстояние

$$L_2 = t_2(V-u) = L \frac{(V-u)(V-v)}{(v+V)^2}.$$

Средняя скорость катера

$$v_{cp} = \frac{L_1 + L_2}{t_1 + t_2} = \frac{V^2 + uv}{V}.$$

Из этой формулы видно, что средняя скорость катера относительно берегов не зависит от расстояния между теплоходами. Отсюда находим искомый путь

$$L_x = v_{cp}t_0 = L \frac{V^2 + uv}{2vV}.$$

Если бы катер стартовал против течения реки, то во всех формулах следовало бы заменить  $u$  на  $(-u)$ . В этом случае

$$L_x = v_{cp}t_0 = L \frac{V^2 - uv}{2vV}.$$

### Задача 3. Терморезистор

Горизонтальный участок графика соответствует процессу плавления льда, наклонный — нагреванию воды. Согласно приведённой формуле мы можем записать:

$$\alpha = \frac{\Delta R}{R_0} \frac{1}{\Delta t}.$$

Отношение

$$\frac{\Delta R}{R_0} = 0,068$$

для заданного интервала времени  $\Delta \tau = \tau - \tau_{\text{пл}} = 24$  с найдём из графика (здесь  $\tau_{\text{пл}} = 600$  с — время плавления льда,  $\tau = 624$  с — время окончания эксперимента). Произошедшее за это время изменение температуры воды определим из следующих соображений.

Как видно из графика, начальная температура льда равна  $0^\circ\text{C}$ , потому что на начальном участке сопротивление терморезистора, а значит и температура, не меняется. Теплообмен калориметра с окружающей средой отсутствует, так как при нагреве воды сопротивление терморезистора, а значит и температура возрастает со временем по линейному закону. Поэтому

$$Q_{\text{пл}} = \lambda m, \quad Q_{\text{нагр}} = cm\Delta t.$$

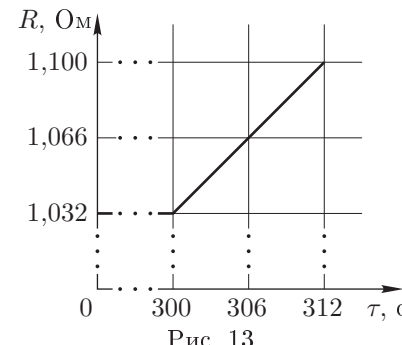


Рис. 13

Поскольку мощность нагревательного элемента постоянна, мы можем записать:

$$P_{\text{пл}} = \frac{Q_{\text{пл}}}{\tau_{\text{пл}}}, \quad P_{\text{нагр}} = \frac{Q_{\text{нагр}}}{\tau - \tau_{\text{пл}}}, \quad P_{\text{пл}} = P_{\text{нагр}}.$$

Из этих формул следует

$$\frac{m\lambda}{\tau_{\text{пл}}} = \frac{mc\Delta t}{\tau - \tau_{\text{пл}}},$$

откуда

$$\Delta t = \frac{\lambda}{c} \cdot \frac{\tau - \tau_{\text{пл}}}{\tau_{\text{пл}}}.$$

Следовательно, искомая величина

$$\alpha = \frac{\Delta R}{R_0 \Delta t} = \frac{\Delta R}{R_0} \cdot \frac{c}{\lambda} \cdot \frac{\tau_{\text{пл}}}{\tau - \tau_{\text{пл}}} = 0,021^\circ\text{C}^{-1}.$$

При силе тока нагревателя  $I = 1,41I_0$  его мощность возрастает в 2 раза. Следовательно, лёд расплавится за время  $\tau_{\text{пл2}} = 300$  с. Относительное изменение сопротивления терморезистора  $\Delta R/R_0 = 0,068$  произойдёт за время  $\tau_2 = 12$  с. Искомый график представлен на рисунке 13.

### Задача 4. Цепь с двумя ключами

Комбинация 1. Ключ  $K_1$  замкнут,  $K_2$  — разомкнут.

В этом случае в плечо  $GB$  включён резистор  $2R$  и схема симметрична относительно участка  $GC$ . Следовательно  $I_1 = 0$ .

Комбинация 2. Ключи  $K_1$  и  $K_2$  — разомкнуты.

Эквивалентная схема изображена на рисунке 14. Сопротивление участка цепи, обведённого пунктирной линией, найдём из условия

$$\frac{1}{r} = \frac{1}{R} + \frac{1}{2R} = \frac{3}{2R}, \quad \text{откуда} \quad r = \frac{2}{3}R.$$

На участке  $DC$  напряжение

$$U_{DC} = \frac{U}{2R + r} r = \frac{U}{4}.$$

Показания амперметра

$$I_2 = \frac{U_{DC}}{2R} = \frac{U}{8R}.$$

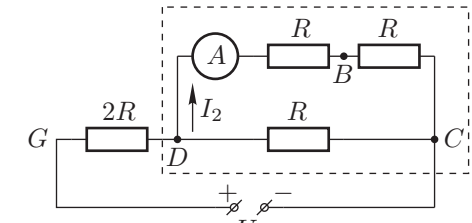


Рис. 14

Направление тока от узла  $D$  к узлу  $B$ .

Комбинация 3. Ключ  $K_2$  — замкнут (положение ключа  $K_1$  — произвольное).

Эквивалентная схема изображена на рисунке 15. Сопротивление участка цепи, обведённого пунктирной линией, равно

$$r = \frac{2}{3}R.$$

На участке  $BD$  напряжение

$$U_{BD} = \frac{U}{R + r} r = \frac{2}{5}U.$$

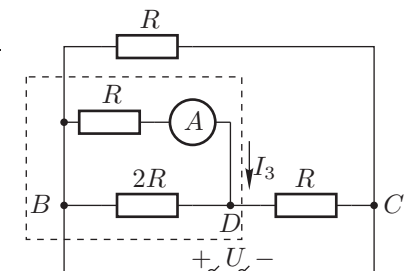


Рис. 15

Показания амперметра

$$I_3 = \frac{U_{BD}}{R} = \frac{2U}{5R}.$$

Направление тока от узла  $B$  к узлу  $D$ . Также легко видеть, что  $I_3 > I_2$ .

## 10 класс

### Задача 1. Эшелон

Рассмотрим систему, состоящую из  $n$  верхних брусков (рис. 16). На эту систему в горизонтальном направлении действует только одна сила — сила трения  $F_n$  между  $n$ -м и  $(n+1)$ -м брусками:

$$F_n = -\alpha(v_n - v_{n+1}),$$

где  $v_n$  и  $v_{n+1}$  — скорости  $n$ -го и  $(n+1)$ -го брусков соответственно. Рассмотрим малый промежуток времени  $\Delta t$ . Из закона изменения импульса системы находим изменение импульса системы за время  $\Delta t$

$$\Delta p_n = F_n \Delta t = -\alpha(v_n - v_{n+1}) \Delta t = -\alpha(\Delta x_n - \Delta x_{n+1}),$$

где  $\Delta x_n$  и  $\Delta x_{n+1}$  — расстояния, пройденные соответственно  $n$ -м и  $(n+1)$ -м брусками за время  $\Delta t$ . Поскольку начальный импульс системы из  $n$  рассматриваемых брусков был  $p = mv$ , то

$$-mv = -\alpha \Delta l_n,$$

где  $\Delta l_n = \Delta x_n - \Delta x_{n+1}$  — сдвиг  $n$ -го бруска относительно  $(n+1)$ -го после остановки системы. Следовательно,

$$\Delta l_n = \frac{mv}{\alpha},$$

то есть величина  $\Delta l_n$  одинакова для всех  $n$ . Таким образом, после остановки система будет иметь вид «лесенки» с шагом  $\Delta l = mv/\alpha$  (рис. 17).

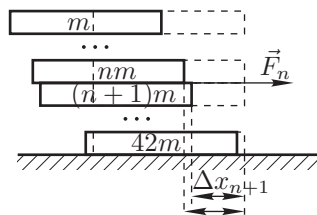


Рис. 16

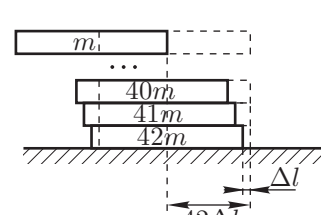


Рис. 17

### Задача 2. Неустойчивое равновесие

Пусть  $p$  — давление расширяющегося газа, тогда давление газа в другом колене  $p_1 = p + \rho g x$ . Поскольку установившаяся температура во всей трубке одинакова, то (рис. 18):

$$p(L+x) = (p + \rho g x)(L-x),$$

или после преобразований:

$$p = \frac{1}{2} \rho g (L-x). \quad (1)$$

Потенциальная энергия части жидкости, перетёкшей в вертикальное колено, передёт во внутреннюю энергию гелия и самой жидкости:

$$\rho x S g \frac{x}{2} = (2\nu C_V + C) \Delta T. \quad (2)$$

Изменение температуры системы можно найти из уравнения состояния:

$$\nu R \Delta T = p(L+x)S - p_0 L S. \quad (3)$$

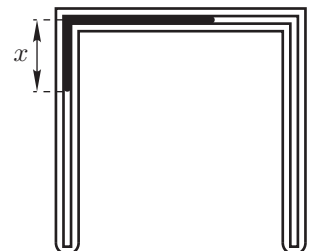


Рис. 18 (3)

Решая систему уравнений (1), (2) и (3), получим:

$$\rho g S \frac{x^2}{2} = \frac{(2\nu C_V + C) (\frac{1}{2} \rho g (L^2 - x^2) - p_0 L)}{\nu R} S,$$

откуда

$$x = \sqrt{\left(\frac{3\nu R + C}{4\nu R + C}\right) \left(L - \frac{2p_0}{\rho g}\right) L}. \quad (4)$$

*Примечание.* Из (4) видно, что при  $\rho g L < 2p_0$  под корнем будет стоять отрицательное число. Это означает, что исходное положение жидкости в трубке неустойчиво.

### Задача 3. Наибольший КПД

Будем обозначать физические величины, соответствующие определённым состояниям, подстрочными индексами. По определению,

$$\eta_V = 1 - \frac{Q_{31}}{Q_{23}}, \quad \eta_p = 1 - \frac{Q_{41}}{Q_{24}},$$

где  $Q_{31}$  — теплота, выделившаяся на участке 3-1,  $Q_{23}$  — теплота, выделившаяся на участке 2-3,  $Q_{41}$  — теплота, выделившаяся на участке 4-1,  $Q_{24}$  — теплота, выделившаяся на участке 2-4. Здесь

$$Q_{31} = \nu C_V (T_2 - T_1), \quad Q_{23} = A_{23} + U_{23} = \nu R T_2 \ln \left( \frac{V_3}{V_2} \right),$$

где  $A_{23}$  — работа газа на участке 2-3,  $U_{23}$  — изменение внутренней энергии газа на участке 2-3, причём  $U_{23} = 0$ , так как 2-3 — изотерма. С учётом равенства  $V_3 = V_1$ , запишем

$$Q_{23} = \nu R T_2 \ln \left( \frac{V_1}{V_2} \right).$$

Теперь воспользуемся уравнением адиабаты:  $p_1 V_1^\gamma = p_2 V_2^\gamma$ , откуда

$$\frac{V_1}{V_2} = \left( \frac{p_2}{p_1} \right)^{1/\gamma}.$$

После подстановки этого соотношения в выражение для  $Q_{23}$  получим:

$$Q_{23} = \nu RT_2 \frac{1}{\gamma} \ln \left( \frac{p_2}{p_1} \right) = \nu RT_2 \frac{C_V}{C_p} \ln \left( \frac{p_2}{p_1} \right).$$

Коэффициент полезного действия

$$\eta_V = 1 - \frac{C_p(T_2 - T_1)}{RT_2 \ln(p_2/p_1)}. \quad (5)$$

Аналогичным образом находим

$$Q_{41} = \nu C_p(T_2 - T_1), \quad Q_{24} = \nu RT \ln \left( \frac{V_4}{V_2} \right).$$

Точки (2) и (4) лежат на одной изотерме, следовательно  $\nu RT_2 = p_2 V_2 = p_4 V_4$ , откуда

$$\frac{V_4}{V_2} = \frac{p_2}{p_4}.$$

С учётом равенства  $p_4 = p_1$  для  $\eta_p$  окончательно запишем:

$$\eta_p = 1 - \frac{C_p(T_2 - T_1)}{RT_2 \ln(p_2/p_1)}. \quad (6)$$

Из (5) и (6) видно, что  $\eta_p = \eta_V$ .

#### Задача 4. Притяжение одноимённых зарядов

В пределе при малом зазоре суммарный заряд полушарий  $Q = q_1 + q_2$  равномерно распределён по сферической поверхности. Заряды же на плоских поверхностях полушарий равны  $q$  и  $-q$ , причём

$$q = q_1 - \frac{Q}{2} = \frac{q_1 - q_2}{2}.$$

Можно считать, что эти поверхности образуют плоский конденсатор. В этом приближении напряжённость электрического поля в зазоре между гранями

$$E_C = \frac{q}{\epsilon_0 \cdot \pi R^2},$$

а вблизи (снаружи) сферической поверхности

$$E_R = \frac{Q}{4\pi\epsilon_0 R^2}.$$

Заметные отклонения напряжённости поля от приведённых выше величин будут наблюдаться только в малой окрестности у краёв плоских поверхностей,

но в пределе «нулевого» зазора они не скажутся на искомой силе взаимодействия.

Поле, создаваемое каждой из плоских поверхностей,

$$E_{C1} = \frac{q}{2\pi\epsilon_0 R^2},$$

а сила, с которой они притягиваются,

$$F_C = qE_{C1} = \frac{q^2}{2\pi\epsilon_0 R^2}.$$

Взаимодействие между зарядами на внешних поверхностях полусфер можно заменить эффективным давлением  $p$ , действующим на них. Сила взаимодействия между зарядами, находящимися на внешних поверхностях полуслефер,  $F_R = Sp$ , где  $S = \pi R^2$ , а давление

$$p = \sigma \frac{E_R}{2}.$$

Отсюда

$$F_R = \pi R^2 \left( \frac{Q}{4\pi R^2} \frac{E_0}{2} \right) = \frac{Q^2}{32\pi\epsilon_0 R^2}.$$

Результирующая сила

$$F_R = \frac{Q^2}{32\pi\epsilon_0 R^2} - \frac{q^2}{2\epsilon_0 \pi R^2} = \frac{Q^2 - (4q)^2}{32\pi\epsilon_0 R^2} = \frac{(Q - 4q)(Q + 4q)}{32\pi\epsilon_0 R^2}.$$

После подстановки значений  $Q$  и  $q$  окончательно получим

$$F_R = \frac{(3q_2 - q_1)(3q_1 - q_2)}{32\pi\epsilon_0 R^2}.$$

Притяжение полусфер будет возникать при одноимённых зарядах на них в случае, когда заряды отличаются больше чем втрое.

#### Задача 5. Полубесконечная цепочка

Решение сводится к определению ЭДС  $\mathcal{E}_0$  эквивалентной батареи и её внутреннего сопротивления  $r_0$ . Тогда показания вольтметра  $U = \mathcal{E}_0$ , показания амперметра  $I_0 = \mathcal{E}_0/r_0$  (короткое замыкание).

1. Пусть сначала к цепочке подсоединен вольтметр  $V$ . Заменим полубесконечную цепочку, начиная со второго звена, эквивалентной батареей (рис. 19).

Через идеальный вольтметр ток не течёт. По закону Ома

$$I = \frac{\mathcal{E} - \mathcal{E}_0}{r + r_0}.$$

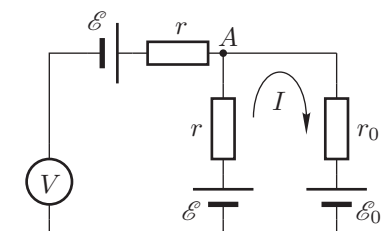


Рис. 19

Показание вольтметра

$$U = \mathcal{E}_0 = U_{AB} - \mathcal{E},$$

где напряжение между точками  $A$  и  $B$

$$U_{AB} = \mathcal{E} - Ir.$$

Следовательно,

$$U = -Ir = -\frac{\mathcal{E} - \mathcal{E}_0}{r + r_0} \cdot r = \mathcal{E}_0,$$

откуда

$$\mathcal{E}_0 = -\frac{r}{r_0} \mathcal{E}. \quad (7)$$

2. Теперь к входу цепочки вместо вольтметра подключим амперметр. Подключение идеального амперметра соответствует короткому замыканию. Пусть  $I_0$ ,  $I_1$  и  $I_2$  — силы тока в ветвях цепи (рис. 20), тогда

$$U_{AB} = \mathcal{E} + I_0 r = \mathcal{E} - I_1 r = \mathcal{E}_0 - I_2 r_0. \quad (8)$$

По первому правилу Кирхгофа для точки  $A$  имеем:

$$I_0 = I_1 + I_2. \quad (9)$$

Из (8) и (9) следует:

$$I_1 = -I_0, \quad I_2 = 2I_0.$$

Используя (7), запишем (8) в виде:

$$\mathcal{E} + I_0 r = -\frac{r}{r_0} \mathcal{E} - 2I_0 r_0,$$

$$\text{где } I_0 = \frac{\mathcal{E}_0}{r_0} = -\frac{\mathcal{E}r}{r_0^2}.$$

Для определения  $r_0$  получим уравнение:

$$r_0^2 - rr_0 - r^2 = 0.$$

Положительный корень этого уравнения

$$r_0 = \frac{1 + \sqrt{5}}{2} r \approx 3,26 \text{ Ом.}$$

Из (7) находим

$$\mathcal{E}_0 = -\frac{r}{r_0} \mathcal{E} = -\frac{2}{1 + \sqrt{5}} \mathcal{E} \approx -0,74 \text{ В,}$$

откуда

$$I_0 = \frac{\mathcal{E}_0}{r_0} \approx -0,23 \text{ А.}$$

## 11 класс

### Задача 1. Разорвавшийся снаряд

Пусть  $m_1$  и  $m_2$  — массы осколков,  $M = m_1 + m_2$  — первоначальная масса снаряда. По закону сохранения импульса

$$\vec{p}_0 = \vec{p}_1 + \vec{p}_2 \quad \text{или} \quad p_0^2 = p_1^2 + p_2^2 + 2p_1 p_2 \cos \alpha.$$

Кинетическая энергия до и после взрыва соответственно равны:

$$E_{\text{нач}} = \frac{p_0^2}{2M} = \frac{p_1^2 + p_2^2 + 2p_1 p_2 \cos \alpha}{2(m_1 + m_2)}, \quad E_{\text{кон}} = \frac{p_1^2}{2m_1} + \frac{p_2^2}{2m_2}.$$

Выделившаяся при взрыве кинетическая энергия

$$E = E_{\text{кон}} - E_{\text{нач}} = \left( \frac{p_1^2}{2m_1} + \frac{p_2^2}{2m_2} \right) - \frac{p_1^2 + p_2^2 + 2p_1 p_2 \cos \alpha}{2(m_1 + m_2)}.$$

После преобразования будем иметь

$$E = \frac{p_1^2 k + p_2^2 \frac{1}{k} - 2p_1 p_2 \cos \alpha}{2M}, \quad \text{где } k = \frac{m_2}{m_1}.$$

Для нахождения  $E_{\text{мин}}$  приравняем нулю производную:

$$\frac{dE}{dk} = \frac{1}{2M} \left( p_1^2 - p_2^2 \frac{1}{k^2} \right) = 0.$$

Отсюда

$$k = \frac{p_2}{p_1} = \frac{2}{3}.$$

Подставляя найденное значение  $k$  в выражение для  $E$ , получим

$$E_{\text{мин}} = \frac{p_1 p_2 (1 - \cos \alpha)}{M} = 4,32 \cdot 10^6 \text{ Дж.}$$

### Задача 2. Шайба на привязи

1. Пусть нить отклонилась на некоторый малый угол  $d\varphi$  (рис. 21). Тогда свободная часть нити укоротилась на  $dl = R d\varphi$ , шайба прошла путь  $dS = ld\varphi \approx ld\varphi/R$ , а путь, пройденный шайбой до столкновения с цилиндром

$$S = \int_0^L \frac{ldl}{R} = \frac{L^2}{2R}.$$

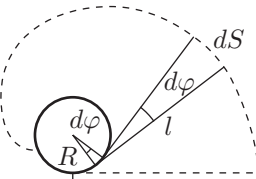


Рис. 21

Поскольку трения нет, то кинетическая энергия шайбы, а значит, и её скорость останется неизменной. Поэтому искомое время

$$t = \frac{L^2}{2Rv_0}.$$

2. При наличии трения шайба движется по дуге с тангенциальным ускорением  $a = -\mu g$ . Двигаясь с таким ускорением, свободная шайба прошла бы путь  $S_1 = v_0^2/\mu g$ . Поэтому здесь возможны два случая:

а. Если  $S \geq S_1$ , или  $v_0 \leq L\sqrt{\mu g/R}$ , то шайба до цилиндра не дойдёт или соприкоснётся с ним без удара. Время её движения в этом случае

$$t_a = \frac{v_0}{\mu g};$$

б. Если  $S \leq S_1$ , то шайба, пройдя путь  $S$ , столкнётся с цилиндром или соприкоснётся с ним без удара. Время движения шайбы найдём из формулы для пути при равнозамедленном движении:

$$S = \frac{L^2}{2R} = v_0 t - \frac{\mu g t^2}{2} \quad \text{откуда} \quad t^2 - 2\frac{v_0}{\mu g}t + \frac{L^2}{\mu g R} = 0.$$

Квадратное уравнение имеет корни:

$$t_{1,2} = \frac{v_0}{\mu g} \pm \sqrt{\left(\frac{v_0}{\mu g}\right)^2 - \frac{L^2}{\mu g R}}.$$

Искомое время  $t_6$  должно быть меньше времени  $t_a = v_0/\mu g$ , необходимого для полной остановки шайбы. Поэтому

$$t_6 = \frac{v_0}{\mu g} - \sqrt{\left(\frac{v_0}{\mu g}\right)^2 - \frac{L^2}{\mu g R}} = \frac{v_0}{\mu g} \left(1 - \sqrt{1 - \frac{\mu g L^2}{v_0^2 R}}\right).$$

При  $S = S_1$  времена  $t_a$  и  $t_6$  одинаковы.

### Задача 3. Два термодинамических процесса

В обоих случаях конечная температура воздуха в баллоне равна  $T_0$ , следовательно, его внутренние энергии в начальном и конечном состояниях одинаковы. Поэтому окружающей среде в каждом случае будет передано количество теплоты, равное работе внешних сил по перемещению поршня.

Начальное состояние:  $T_0 = 300$  К,  $p_0 = 10^5$  Па,  $V_1 = kV_0 = 0,544$  м<sup>3</sup>,  $C_V = \frac{5}{2}R$ . Конечное состояние:  $T_0 = 300$  К,  $p_1$ ,  $V_0 = 0,2$  м<sup>3</sup>. Показатель адиабаты  $\gamma = \frac{7}{5} = 1,4$ .

Первый случай (квазистатическое перемещение поршня): происходит изотермическое сжатие, следовательно  $pV = \nu RT_0$ , откуда  $p_0 V_1 = p_1 V_0$ . Поскольку внутренняя энергия не меняется, то по первому закону термодинамики количество теплоты, полученное газом,

$$Q_1 = \Delta A_1 = \int_{V_1}^{V_0} pdV = \nu RT_0 \int_{V_1}^{V_0} \frac{dV}{V} = -\nu RT_0 \ln \frac{V_1}{V_0} = -0,544 \cdot 10^5 \text{ Дж.}$$

Знак «-» означает, что тепло отдается окружающим телам.

Второй случай (быстрое перемещение поршня): происходит адиабатическое сжатие, следовательно,  $pV^\gamma = \text{const}$ , или  $TV^{\gamma-1} = \text{const}$ . Из уравнения адиабаты  $T_2 V_0^{\gamma-1} = T_0 V_1^{\gamma-1}$  следует, что  $T_2 = T_0 V_1^{\gamma-1} \approx 447,7$  К. Работа газа при адиабатическом сжатии

$$\Delta A_2 = -\Delta U_2 = -(\nu C_V T_2 - \nu C_V T_0) = -\frac{5}{2} p_0 k V_0 \left(\frac{T_2}{T_0} - 1\right) = -6,69 \cdot 10^4 \text{ Дж.}$$

Внутренняя энергия газа возросла. Далее происходит охлаждение газа за счёт теплообмена с окружающей средой. Количество теплоты, переданное внешним телам, равно  $6,69 \cdot 10^4$  Дж.

#### Задача 4. Исследование конденсатора

Условие балансировки моста имеет вид:

$$\frac{r_1}{Z_3} = \frac{Z_2}{r_4}, \quad (10)$$

$$\text{где } Z_3 = \sqrt{r_3^2 + (L_3\omega)^2}, \quad \frac{1}{Z_2} = \sqrt{\left(\frac{1}{r_2}\right)^2 + (C_2\omega)^2}, \quad (11)$$

$\omega$  — круговая частота переменного тока. Подставляя (11) в (10), после арифметических преобразований получим:

$$\left(\frac{r_1 r_4}{r_2}\right)^2 - r_3^2 = \omega^2 (L_3^2 - (C_2 r_1 r_4)^2). \quad (12)$$

По условию равенство (12) справедливо при любой частоте  $\omega$ . Следовательно, (12) эквивалентно системе уравнений:

$$\left(\frac{r_1 r_4}{r_2}\right)^2 - r_3^2 = 0, \quad L_3^2 - (C_2 r_1 r_4)^2 = 0.$$

Решая эту систему уравнений, получим:

$$r_2 = \frac{r_1 r_4}{r_3} = 200 \text{ кОм}, \quad C_2 = \frac{L_3}{r_1 r_4} = 0,5 \text{ мкФ}.$$

#### Задача 5. У торца соленоида

Магнитное поле  $B_0$  (при  $z = 0$ ) у торца длинного соленоида равно половине значения поля магнитной индукции внутри соленоида вдали от торцов

$$B_0 = \frac{1}{2} \mu_0 I_c n.$$

Пусть кольцо расположено на некотором расстоянии  $z$  от торца. Результирующий магнитный поток  $\Phi = B_z S + LI = B_0(1-\alpha z)S + LI$ , где  $I$  — сила тока в кольце. Сверхпроводящее кольцо сохраняет магнитный поток. Из начальных условий  $\Phi = 0$ . Следовательно,

$$I(z) = -\frac{B_0(1-\alpha z)S}{L}.$$

Знак « $-$ » указывает на то, что ток в кольце протекает в направлении, противоположном току в витках соленоида. Следовательно, кольцо будет отталкиваться от соленоида. Сила Ампера, действующая на кольцо, направлена вверх:

$$F_z = F_A - mg = |I(z)|B_r 2\pi r_0 - mg = \frac{B_0^2(1-\alpha z)S^2}{L} 2\beta - mg.$$

Условие равновесия кольца:  $F_z = 0$ , то есть

$$B_0^2(1-\alpha z) = \frac{mgL}{2\beta S^2}, \quad \text{или} \quad \left(\frac{1}{2}\mu_0 I_c n\right)^2 (1-\alpha z) = \frac{mgL}{2\beta S^2}.$$

1. При  $z = 0$  критическое значение индукции магнитного поля равно  $B_0$  и, следовательно,

$$I_c = I_0 = \sqrt{\frac{mgL}{2\beta}} \frac{2}{S\mu_0 n} = 11,1 \text{ А.}$$

При таком токе кольцо начинает подниматься над опорой.

2. При  $I_c > I_0$  кольцо висит над опорой (левитируется) на некотором расстоянии  $z = z_0$  (без нарушения осевой симметрии). В этом случае

$$(1-\alpha z_0) = \left(\frac{I_0}{I_c}\right)^2,$$

откуда

$$z_0 = \frac{1}{\alpha} \left(1 - \left(\frac{I_0}{I_c}\right)^2\right).$$

При условии  $I_c = 2I_0$  расстояние

$$z_0 = \frac{3}{4\alpha} = 2,08 \text{ см.}$$

3. В этом случае  $I_c = 2I_0 = \text{const}$ , а магнитная индукция  $B_0 = \mu_0 I_0 n$ . При малом смещении  $\Delta z$  кольца из положения равновесия

$$F_z = \frac{B_0^2(1-\alpha z_0)S^2}{L} 2\beta - \frac{B_0^2\alpha\Delta z S^2}{L} 2\beta - mg = -\frac{2\alpha\beta B_0^2 S^2}{L} \Delta z.$$

Таким образом, на кольцо действует квазиупругая сила, коэффициент жёсткости которой равен

$$k = \frac{2\alpha\beta B_0^2 S^2}{L} = \frac{2\alpha\beta(\mu_0 I_0 n)^2 S^2}{L} = 0,14 \text{ Н/м.}$$

Частота колебаний кольца около положения равновесия равна

$$f = \frac{1}{2\pi} \sqrt{\frac{k}{m}} = 6,0 \text{ Гц.}$$

## Для заметок

# Потенциал

В июне 2006 года выходит семнадцатый номер научно-популярного физико-математического журнала «Потенциал» для старшеклассников и учителей. Журнал ежемесячный.

Учредителями журнала являются заочная физико-техническая школа при МФТИ и издательство «Азбука».

### Рубрики журнала:



Приглашаются все желающие  
принять участие в работе журнала.  
Стоймость годовой подписки: 720 руб.

### Координаты для связи с редакцией

г. Москва, ул. Рабочая, 84  
(095) 768 2548, 787 2494

azbuka@nm.ru  
www.potential.org.ru

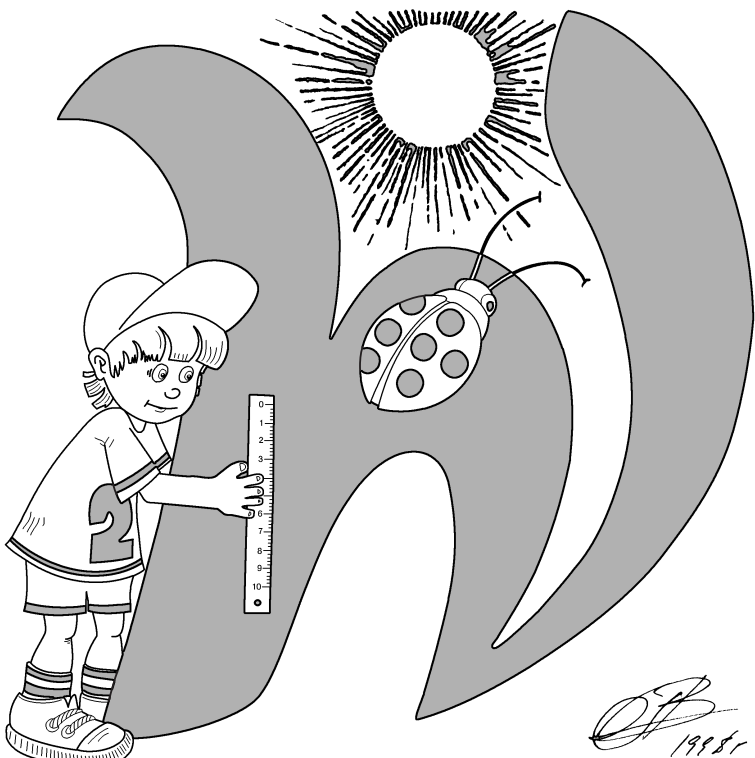
Федеральное агентство по образованию  
Центральный оргкомитет Всероссийских олимпиад

# XL Всероссийская олимпиада школьников по физике

## Заключительный этап

### Экспериментальный тур

#### Методическое пособие



, 2006 г.

Комплект задач подготовлен методической комиссией по физике  
Центрального оргкомитета Всероссийских олимпиад школьников  
Министерства образования и науки Российской Федерации  
Телефоны: (095) 408-80-77, 408-86-95.  
E-mail: [fizolimp@mail.ru](mailto:fizolimp@mail.ru) (с припиской **antispam** к теме письма)

#### Авторы задач

##### 9 класс

1. Елькина Е.,  
Карманов М.
2. Иоголевич И.

##### 10 класс

1. Карманов М.
2. Иоголевич И.,  
Карманов М.

##### 11 класс

1. Марфенков Ю.
2. Иоголевич И.

Оформление и вёрстка — Чудновский А., Гусихин П.

При подготовке оригинал-макета  
использовалась издательская система  $\text{\LaTeX} 2\epsilon$ .  
© Авторский коллектив  
Подписано в печать 21 июня 2006 г. в 17:58.

141700, Московская область, г. Долгопрудный  
Московский физико-технический институт

**Задача 1. Механический «чёрный ящик»**

Внутри «чёрного ящика» находится система из трёх пружин, соединённых друг с другом (рис. 1). В точке  $A$  две пружины прикреплены к корпусу «чёрного ящика». Упоры  $B$  и  $C$  ограничивают перемещение крючков. Начальные деформации пружин не известны. Определите жёсткости каждой из пружин при малых деформациях.

*Оборудование.* «Чёрный ящик», динамометр, линейка, миллиметровка, липкая лента.

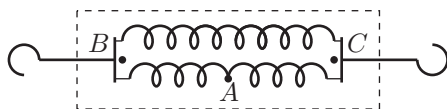


Рис. 1

**Задача 2. Экспериментатор Глюк**

Экспериментатору Глюку на день рождения подарили «чёрный ящик», в котором находится источник постоянного напряжения с присоединённым к нему последовательно неизвестным сопротивлением (рис. 2). Глюк захотел узнать, какой ток потечёт через источник, если соединить проводки, торчащие из «чёрного ящика». Поскольку под рукой у экспериментатора оказался далеко не идеальный амперметр, что не позволило измерить этот ток напрямую, он обратился за помощью к вам. Помогите Глюку. Для этого:

1. изучите зависимость мощности, выделяющейся на внешней нагрузке, от силы тока через источник;

2. определите ток короткого замыкания «чёрного ящика» при помощи этой зависимости.

*Примечание.* Внешней нагрузкой называется всё, что подключается к выводам 1 и 2 «чёрного ящика».

*Оборудование.* «Чёрный ящик», переменное сопротивление, миллиамперметр (внутреннее сопротивление указано на приборе), вольтметр (внутреннее сопротивление 700 Ом), соединительные провода, миллиметровая бумага.

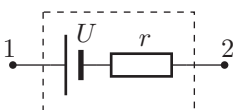


Рис. 2

**Задача 1. Шарик в трубке**

Внутри цилиндрической трубы собрана конструкция, изображённая на рисунке 3. Трубка с пробками является симметричной (её центр масс расположен ровно посередине). Определите: массу трубы, массу шарика, жёсткость пружины. Массой пружины можно пренебречь.

*Примечание.* Конец трубы, из которого выходит нить, погружать в воду запрещается. Плотность воды 1000 кг/м<sup>3</sup>.

*Оборудование.* Трубка в сборке, линейка, сосуд с водой, спичка.



Рис. 3

**Задача 2. Электрический «чёрный ящик» (1)**

В «чёрном ящике» собрана схема из трёх элементов, соединённых «звездой» (рис. 4). Два элемента являются постоянными резисторами, а третий элемент имеет нелинейную вольтамперную характеристику. Определите:

1. провод какого цвета соединён с нелинейным элементом;
2. значения сопротивлений резисторов;
3. вольтамперную характеристику нелинейного элемента.

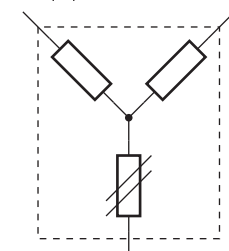


Рис. 4

*Оборудование.* «Чёрный ящик», два мультиметра, регулируемый источник тока, соединительные провода, миллиметровая бумага.

**Задача 1. Дифракция и дисперсия**

1. Используя дифракционную решётку, определите границы (максимальную  $\lambda_{\max}$  и минимальную  $\lambda_{\min}$  длины волн) спектра излучения выданного вам источника в видимой области.

2. С помощью щели направьте узкий пучок света на одну из граней призмы (рис. 5). Подберите угол падения  $\varphi_1$  так, чтобы пучок проходил симметрично через призму ( $\varphi_1 = \varphi_2$  для средней части спектра). Получите на экране спектр источника и измерьте углы отклонения  $\delta(\lambda_{\max})$  и  $\delta(\lambda_{\min})$  для границ спектра источника. Рассчитайте угловую дисперсию призмы  $\Delta\delta/\Delta\lambda$  при симметричном ходе лучей.

3. Рассмотрите ход луча с некоторой длиной волны в призме и выразите показатель преломления  $n$  материала призмы через углы  $\alpha$  и  $\delta$  при симметричном ходе лучей. Рассчитайте показатель преломления призмы для средней части спектра.

4. Оцените дисперсию показателя преломления  $\Delta n/\Delta\lambda$ .

*Оборудование.* Источник света, призма, дифракционная решётка (100 штр/мм), прищепки, экран со щелью, миллиметровая бумага.

**Задача 2. Электрический «Чёрный ящик» (2)**

В «чёрном ящике» находятся три элемента, соединённые последовательно (возможные варианты: катушка индуктивности, конденсатор, резистор). Есть только два вывода, соединённые с крайними точками цепочки из трёх элементов.

1. Определите, какие элементы находятся в «чёрном» ящике.

2. Измерьте параметры этих элементов.

*Оборудование.* «Чёрный ящик», генератор гармонического сигнала с регулируемой частотой, двухлучевой осциллограф, дополнительное сопротивление с известным номиналом  $R_0$ , соединительные провода.

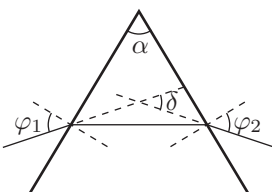


Рис. 5

**Возможные решения****Задача 1. Механический «чёрный ящик»**

Прикрепляем динамометр к одному из крючков и исследуем зависимость удлинения  $l$  от величины приложенной силы  $F$ . Опыт проводим три раза: удерживаем конструкцию на столе, тянем за крючок  $B$ ; удерживаем конструкцию на столе, тянем за крючок  $C$ ; держим конструкцию на весу за один крючок, тянем за другой. Для каждого случая строим график зависимости удлинения от растягивающей силы. По начальному линейному участку графика определяем жёсткость системы  $k = \Delta F/\Delta l$  для каждого варианта растяжения. Эти жёсткости можно выразить через жёсткости пружин:

$$\begin{cases} k_1 = k_{AB} + k_{BC}; \\ k_2 = k_{AC} + k_{BC}; \\ k_3 = \frac{k_{AB}k_{AC}}{k_{AB} + k_{AC}} + k_{BC}. \end{cases}$$

Решая систему уравнений, находим  $k_{AB}$ ,  $k_{AC}$ ,  $k_{BC}$ .

*Рекомендации для организаторов.*

1. В качестве пружин можно использовать резинки разной длины, одна из которых сложена вдвое.

2. В качестве корпуса «чёрного ящика» можно использовать ученический пенал.

3. Желательно присутствие небольшой начальной деформации или, наоборот, провисания пружин. Если в качестве пружин используются резинки приблизительно равной длины, верхнюю пружину можно «удлинить», привязав к крючкам нитками.

4. Решение задачи предполагает снятие трёх зависимостей величины деформации от приложенной силы (тянем за один крючок, за другой и за оба одновременно). Желательно, чтобы при каждом из этих опытов диапазон возможных деформаций был от 0 хотя бы до 3 см. Допускается наличие отклонений от линейности при больших деформациях, но на полученных графиках должен чётко выделяться начальный линейный участок зависимости.

5. При одновременном вытягивании крючков предполагается, что корпус «чёрного ящика» может свободно перемещаться по поверхности стола, и силы натяжения двух нижних пружин окажутся равными.

6. Длина линейки должна быть достаточной для прямого измерения расстояния между крючками, вытянутыми на максимальные расстояния. Желательно, помимо линейки, выдать участникам по полосе миллиметровой бумаги размером 1 м на 10 см. Крючки должны свободно перемещаться (без перекосов). Лучше, если резинки будут крепиться к крючкам в одной точке.

7. Миллиметровка нужна также для построения графиков.

**Задача 2. Экспериментатор Глюк**

1. Собираем электрическую цепь по схеме, изображённой на рисунке 6. Силу тока  $I$  измеряем непосредственно амперметром. Мощность, выделяющуюся на внешней нагрузке, рассчитываем по формуле  $P = I^2R_A + IU_V$ , где  $R_A$  — сопротивление амперметра,  $U_V$  — показания вольтметра. Строим график зависимости  $P(I)$  на миллиметровой бумаге.

2. Обозначим полное сопротивление внешней нагрузки (с учётом сопротивлений измерительных приборов) через  $R$ . Тогда мощность, выделяющаяся на внешней нагрузке,  $P = I^2R = (U - Ir)I = UI - I^2r$ . Заметим, что каждому значению мощности соответствует два значения силы тока  $I_1$  и  $I_2$ , причём  $I_1 + I_2 = U/r = I_{\text{кз}}$ , где  $I_{\text{кз}}$  — ток короткого замыкания «чёрного ящика»! Таким образом, чтобы определить ток короткого замыкания, пользуясь графиком  $P(I)$ , находим суммы значений токов, соответствующих одинаковой мощности.

*Рекомендации для организаторов.*

1. «Чёрный ящик» можно изготовить, последовательно соединив батарейку с резистором и спрятав их в какой-нибудь корпус (например, в мыльницу) так, чтобы наружу были выведены только два провода.

2. Переменный резистор должен иметь только два вывода (от одного из концов обмотки и подвижного контакта).

3. Максимальное сопротивление переменного резистора должно быть в 2–3 раза больше сопротивления резистора, находящегося внутри «чёрного ящика».

4. В качестве вольтметра и амперметра предполагается использование стрелочных приборов.

5. Сопротивление вольтметра должно быть сравнимо с сопротивлением переменного резистора.

6. Сопротивление амперметра должно быть по возможности большим.

7. ЭДС батарейки и сопротивления резисторов нужно подобрать так, чтобы батарейка разряжалась достаточно медленно, но при этом токи и напряжения можно было бы измерять при помощи имеющихся приборов.

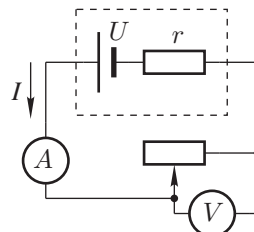


Рис. 6

**10 класс****Задача 1. Шарик в трубке**

1. Уравновесим трубку на ребре линейки в горизонтальном положении. Таким образом определим положение центра масс системы «трубка-шарик». С другой стороны, расстояние от центра масс системы до центра трубы (с учётом её симметричности)

$$x_c = \frac{mx}{m+M},$$

где  $x$  — расстояние от центра шарика до центра трубы,  $m$  — масса шарика,  $M$  — масса трубы. Перемещая шарик при помощи нити и фиксируя нить при помощи спички, каждый раз снова уравновешиваем трубку на ребре линейки. Перемещение центра масс системы

$$\Delta x_c = \frac{m \cdot \Delta x}{m+M}.$$

Находим отношение масс трубы и шарика

$$\frac{M}{m} = \frac{\Delta x}{\Delta x_c} - 1. \quad (1)$$

2. Опускаем трубку в воду герметичным концом вниз, аккуратно придерживая так, чтобы трубка плавала в вертикальном положении практически под действием только сил тяжести и Архимеда. Тогда

$$(M+m)g = \rho_0 V_{\text{n}} g,$$

где  $\rho_0$  — плотность воды,  $V_{\text{n}}$  — объём погруженной в воду части трубы,  $V_{\text{n}} = hS$ , где  $h$  — высота погруженной в воду части трубы, площадь сечения трубы,

$$S = \frac{\pi d^2}{4},$$

$d$  — диаметр трубы, который можно найти прокатыванием трубы по линейке. Таким образом определяем массу трубы с шариком

$$M+m = \rho_0 h \frac{\pi d^2}{4}.$$

Массу шарика находим, используя выражение (1). Чтобы определить жёсткость  $k$  пружины, располагаем трубку вертикально негерметичным концом вниз и измеряем растяжение пружинки  $\Delta l$  под действием веса шарика:

$$k = \frac{mg}{\Delta l}.$$

*Рекомендации для организаторов.*

1. Вместо шарика можно использовать и цилиндр.
2. Вместо пружинки можно использовать резинку.
3. Шарик должен свободно перемещаться внутри трубки. Нитка тоже.
4. Масса шарика должна быть немного меньше массы трубы вместе с пробками.
5. Левый конец трубы должен быть герметично закрыт.
6. Высота сосуда должна быть больше длины трубы.
7. Средняя плотность трубы должна быть немного меньше плотности воды. Желательно, чтобы при погружении в воду закрытым концом вниз конструкция устойчиво плавала в вертикальном положении.
8. Центр масс трубы с пробками должен располагаться посередине трубы.
9. При вертикальном удержании цилиндра ниткой вниз шарик не должен касаться правой пробки (она окажется под шариком).
10. Желательно, чтобы при вертикальном подвешивании данной конструкции на нитке шарик, наоборот, касался правой пробки (теперь она окажется над шариком).
11. Участникам необходимо иметь возможность фиксировать нитку, вытянутую на определённое расстояние. Для этого можно выдать спичку.
12. Желательно, чтобы на трубке можно было делать пометки карандашом или ручкой, и они не смывались водой.

**Задача 2. Электрический «чёрный ящик» (1)**

Снимаем вольтамперные характеристики для каждой пары выводов для двух полярностей подключения источника (рисунки 7, 8, 9, 10, 11 и 12).

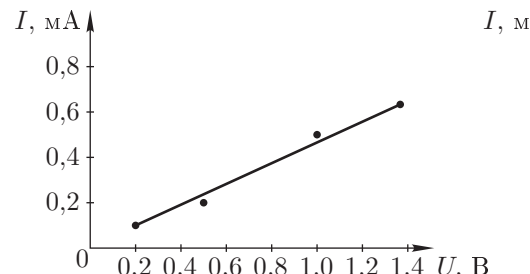


Рис. 7. Син(+) – Бел(–)

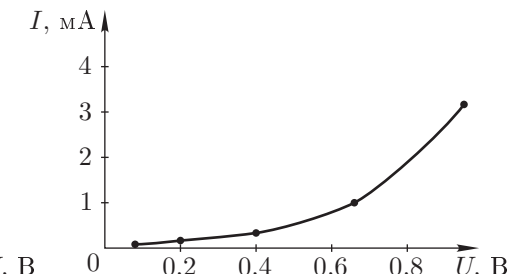


Рис. 8. Син(–) – Бел(+)

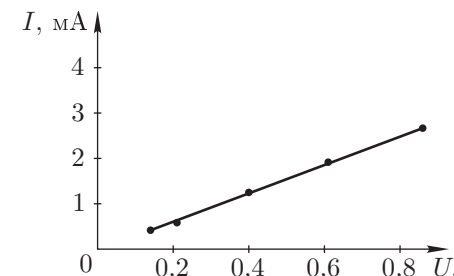


Рис. 9. Син(+) – Оранж(–)

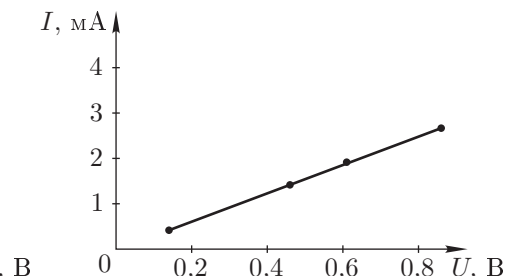


Рис. 10. Син(–) – Оранж(+)

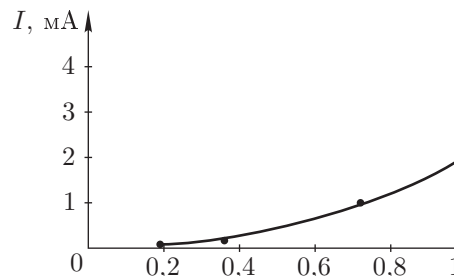


Рис. 11. Бел(+) – Оранж(–)

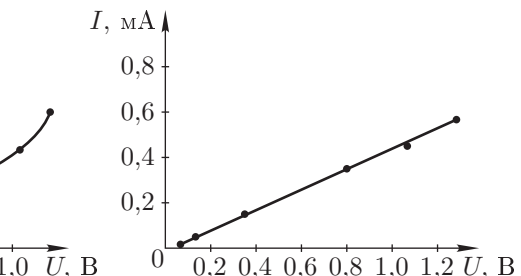


Рис. 12. Бел(–) – Оранж(+)

Определяем, что нелинейный элемент подключён к белому проводу.

Используя характеристики для пары контактов «синий – оранжевый», находим сумму сопротивлений резисторов  $R_{\text{син}} + R_{\text{оранж}} \approx 330 \text{ Ом}$ .

Используя характеристики «синий (–) – белый (+)» и «оранжевый (–) – белый (+)», находим  $R_{\text{оранж}} - R_{\text{син}} \approx 110 \text{ Ом}$ .

Решая полученную систему, находим  $R_{\text{оранж}} \approx 220 \text{ Ом}$ ;  $R_{\text{син}} \approx 110 \text{ Ом}$ .

Зная сопротивления резисторов, можно получить ВАХ нелинейного элемента. Заметим, что при одной из полярностей (белый провод соединён с «минусом» источника) нелинейный элемент ведёт себя как постоянное сопротивление  $R \approx 2 \text{ кОм}$ .

*Рекомендации для организаторов.*

1. Если нет достаточного количества регулируемых источников тока, их можно изготовить из батарейки и переменного резистора, включенного по схеме потенциометра. Всё это вместе с тумблером включения/выключения нужно поместить в некоторый корпус (например мыльницу), выведя наружу тумблер, регулирующую ручку потенциометра и контактные провода с указанием полярности.

2. Выводы «чёрного ящика» лучше промаркировать, например, используя провода трёх разных цветов.

3. В качестве нелинейного элемента предполагается использование диода, соединённого параллельно с резистором. Резистор нужен для того, чтобы при обратной полярности подключения ток всё же протекал через нелинейный элемент.

4. Сопротивление, подключаемое параллельно диоду, должно быть на порядок больше сопротивления диода в открытом состоянии. Нелинейность ВАХ должна очень чётко прослеживаться после открывания диода. Вместе с тем ток, текущий через нелинейный элемент при закрытом диоде, должен быть заметен на том же пределе измерений амперметра, на котором снимается оставшаяся часть ВАХ.

5. Сопротивления резисторов в «чёрном ящике» должны быть сравнимы с сопротивлением диода в открытом состоянии и отличаться друг от друга в 1,5 – 2 раза.

6. Значения сопротивлений и ЭДС источника подбираются в зависимости от характеристик диода из соображений, изложенных выше, а также с учётом ограничения на максимальный ток, который может течь через диод.

7. Миллиметровка выдается для построения ВАХ, её должно быть достаточно для построения всех ВАХ.

11 класс

**Задача 1. Дифракция и дисперсия**

1. Спектральный состав излучения источника определяем при помощи дифракционной решётки. Схема опыта показана на рисунке 13.

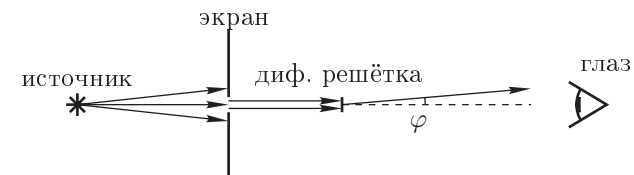


Рис. 13

Для отсчёта углов возле щели на экране расположим полоску миллиметровой бумаги перпендикулярно щели и направлению распространения световых лучей. Границы спектра определяем по формуле дифракционной решётки  $d \sin \varphi = k\lambda$ , где  $d$  – период решётки,  $k$  – порядок спектра. Для  $\varphi \ll 1$

$$\sin \varphi \approx \operatorname{tg} \varphi = \frac{x}{L},$$

где  $x$  – расстояние от щели до границы спектра,  $L$  – расстояние от решётки до экрана.

2. Положим призму на лист миллиметровой бумаги и обведём контур карандашом. Направляем свет от источника через щель на призму, как показано на рисунке 14. Карандашом зарисовываем на миллиметровке ход лучей до и после преломления в призме. Убираем призму. Продолжаем лучи до пересечения (как показано пунктиром на рисунке в условии задачи). При помощи миллиметровки измеряем максимальный и минимальный углы отклонения. Вычисляем

$$\frac{\Delta \delta}{\Delta \lambda} = \frac{\delta(\lambda_{\max}) - \delta(\lambda_{\min})}{\lambda_{\max} - \lambda_{\min}}.$$

3. Для преломления на границе «воздух-стекло»:

$$\sin \varphi_1 = n \sin \psi_1. \quad (2)$$

При симметричном ходе лучей (рис. 15)

$$\psi_1 = \psi_2 = \frac{\alpha}{2}, \quad (3)$$

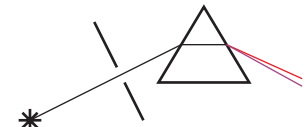


Рис. 14

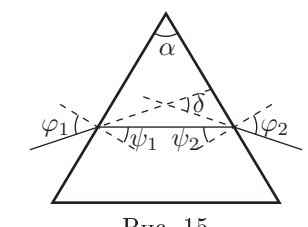


Рис. 15

$$\delta = (\varphi_1 - \psi_1 + \varphi_2 - \psi_2) = (\varphi_1 + \varphi_2) - (\psi_1 + \psi_2) = 2\varphi_1 - \alpha. \quad (4)$$

Таким образом,

$$n = \frac{\sin\left(\frac{\alpha+\delta}{2}\right)}{\sin\left(\frac{\alpha}{2}\right)}. \quad (5)$$

4. Поскольку полученная формула справедлива только для средней части спектра, дисперсию показателя преломления можно оценить, например, из следующих соображений. Чтобы ход лучей для границ спектра стал симметричным, нужно повернуть призму так, чтобы выполнялось условие  $\varphi_1 = \varphi_2$  сначала для  $\lambda_{\max}$ , затем для  $\lambda_{\min}$ . При этом изменение величины угла отклонения  $\delta$  для каждой длины волны при поворотах призмы будет пренебрежимо малым по сравнению с  $\Delta\delta = \delta(\lambda_{\max}) - \delta(\lambda_{\min})$ . Поэтому можно повернуть призму мысленно и использовать в формулах (2) и (3)  $(\varphi_1 + \varphi_2)/2$  вместо  $\varphi_1$ . Таким образом получаем то же соотношение между  $\delta$  и показателем преломления  $n$  для любой части спектра, что и для средней части при симметричном ходе лучей (формула (5)). По формуле (5) находим  $n(\lambda_{\max})$  и  $n(\lambda_{\min})$ . Вычисляем искомую дисперсию

$$\frac{n(\lambda_{\max}) - n(\lambda_{\min})}{\lambda_{\max} - \lambda_{\min}}.$$

Заметим, что эта величина отрицательная!

#### Рекомендации для организаторов.

1. В качестве источника света можно использовать светодиодные фонарики (брелки) со сплошным спектром излучения в видимой области.

2. Ширина щели в экране и характеристики источника света должны позволять формировать достаточно яркий, узкий, практически не расходящийся пучок света.

3. Необходимо подобрать призмы, дающие широкий спектр для данного источника. Хорошо подходят призмы из флинтовых сортов стекла.

4. В качестве экрана для получения изображения спектра предполагается использовать загнутый край миллиметровки.

5. Рекомендуется выдать тонко отточенный карандаш для нанесения необходимых пометок на миллиметровку и выполнения построений.

6. Необходимо, чтобы при выполнении эксперимента на миллиметровке чётко просматривался ход лучей.

7. Прищепки нужны для установки дифракционной решетки и фиксации кнопки включения фонарика.

#### Задача 2. Электрический «Чёрный ящик» (2)

1. Соберём измерительную цепь по схеме, изображённой на рисунке 16. Сигнал, снимаемый со входа  $Y$ , будет нам показывать суммарное напряжение на «чёрном ящике» и известном сопротивлении. Сигнал, снимаемый с сопротивления  $R_0$ , — силу тока, проходящего через «чёрный ящик»

$$I = \frac{U_X}{R_0},$$

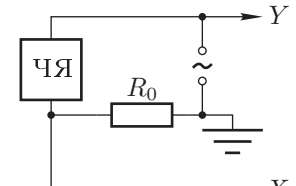


Рис. 16

где  $U_X$  — напряжение на «чёрном ящике» (здесь и далее  $I$ ,  $U_X$ ,  $U_Y$  — амплитудные значения токов и напряжений). Снимем зависимости  $U_X$  и  $U_Y$  от частоты сигнала  $f$ . По этим данным построим зависимость импеданса  $Z = U_X R_0 / U_Y$  от частоты. Схематичный график этой зависимости представлен на рисунке 17. На графике наблюдается резонанс. Следовательно, в «чёрном ящике» должны находиться и конденсатор, и катушка. Третий элемент — это включённое последовательно с катушкой и конденсатором сопротивление, ограничивающее амплитуду силы тока при резонансе.

2. Для произвольной частоты  $f$  импеданс цепи равен

$$Z = \sqrt{(R + R_0)^2 + \left(2\pi f L - \frac{1}{2\pi f C}\right)^2}, \quad (6)$$

где  $R$  — сопротивление в «чёрном ящике»,  $C$  — ёмкость конденсатора в «чёрном ящике»,  $L$  — индуктивность катушки в «чёрном ящике». При резонансе  $Z = R + R_0$ . Таким образом,

$$R = \left( \frac{U_{\text{рез}Y}}{U_{\text{рез}X}} - 1 \right) R_0.$$

Резонансная частота совпадает с частотой собственных колебаний в контуре

$$f_{\text{рез}} = \frac{1}{2\pi\sqrt{LC}}, \quad \text{откуда} \quad LC = \frac{1}{4\pi^2 f_{\text{рез}}^2}. \quad (7)$$

3. Из (6) видно, что при частотах, значительно превышающих резонансную,

$$Z \approx 2\pi f L.$$

Это подтверждается экспериментальными данными: зависимость  $Z(f)$  при больших частотах линейна. По наклону линейного участка определяем  $L$ . После чего с помощью (7) определяем  $C$ .

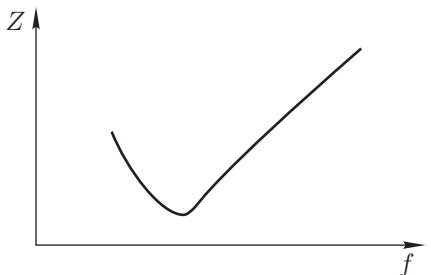


Рис. 17